Региональная научно-практическая конференция «ЧЕРНОБЫЛЬ 1986 — 35 лет спустя» 26 апреля 2021 г.

Мобильные системы контроля радиоактивного загрязнения местности

Забродский Вячеслав Николаевич, к.х.н.

Заведующий лабораторией спектрометрии и радиохимии Полесского государственного радиационно-экологического заповедника vzabrotski@tut.by

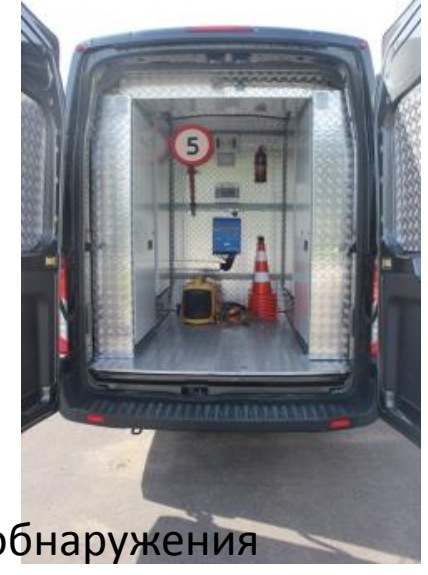
Мобильные системы контроля

Аварии на АЭС в Чернобыле и Фукусиме продемонстрировали актуальность оценки радиоактивного загрязнения местности вследствие ядерных инцидентов в максимально сжатые сроки.

С этой целью в последние годы широко используются как наземные, так и надземные мобильные системы, позволяющие оценить радиационную обстановку на обследуемой территории непосредственно в полевых условиях (in situ). Это позволяет сэкономить время и материальные затраты, необходимые на отбор проб, их транспортировку и последующий анализ в лабораторных условиях







Мобильная радиологическая лаборатория РМ6000 (ООО «Полимастер»)

Мобильная система обнаружения РМ6100 (ООО «Полимастер»)



КОМПЛЕКС РАДИАЦИОННОГО СКАНИРОВАНИЯ МОБИЛЬНЫЙ МКС-АТ61030(АТОМТЕХ)







Наземные системы детектирования:

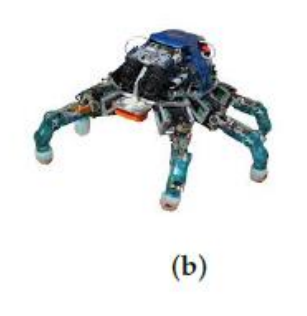
- автомобиль с двумя LaBr₃ детекторами на крыше;
- микроавтобус с дозиметром и NaI(TI) спектрометром.
- оборудование в рюкзаке KURAMA-II (сцинтилляционный детектор CsI(TI)) для пещеходных маршрутов даевич

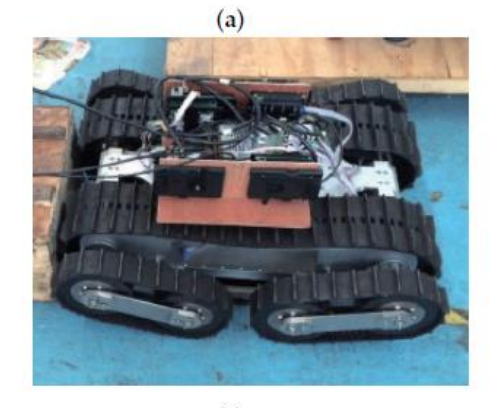




(b)

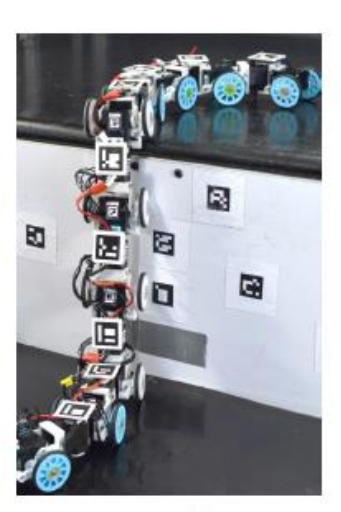








(c)



Беспилотные наземные транспортные средства (UGV):

- (a) UGV на колесах с манипулятором
- (b) UGV на колесах с четырьмя гусеницами
- (c) гусеничный UGV

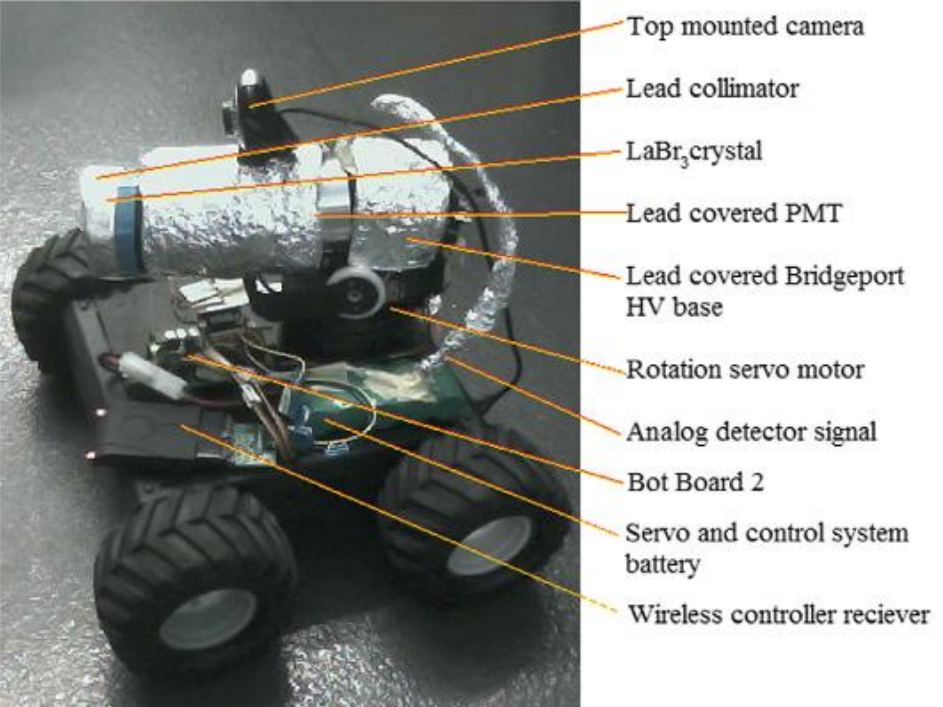
Роботы подобные живым организмам:

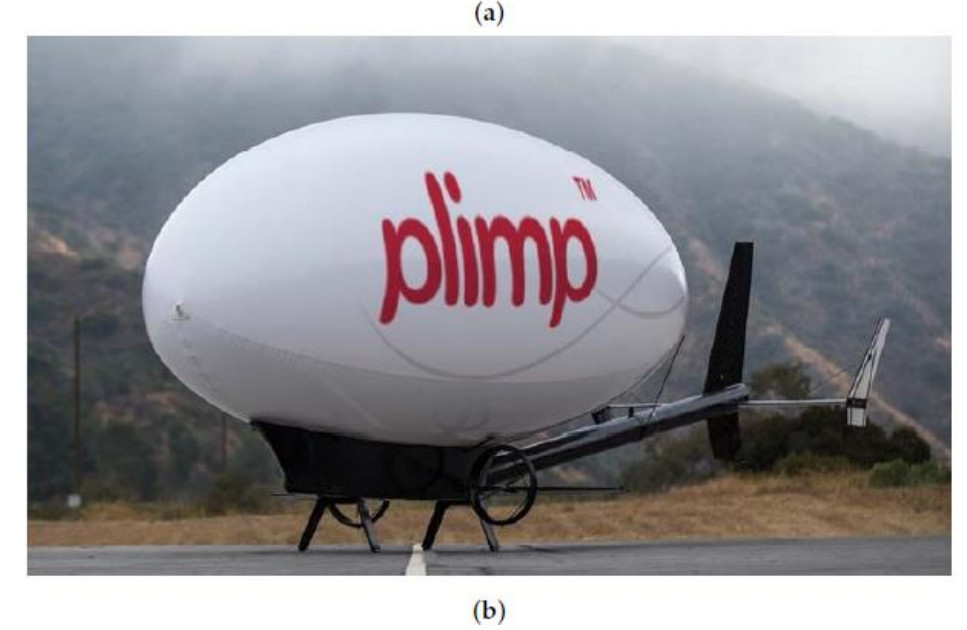
- (a) Anymal C from ANYbotics
- (b) DLR (CC BY 3.0) «ползающий» робот
- (c) Гексапод MKIII
- (d) змееподобный робот



Ручной детектор на основе кристалла NaI(TI)



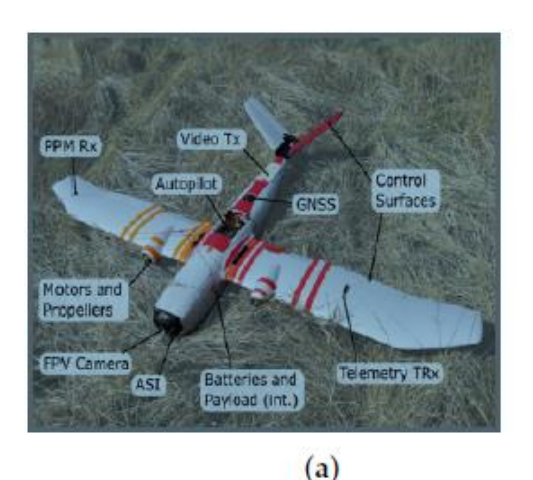


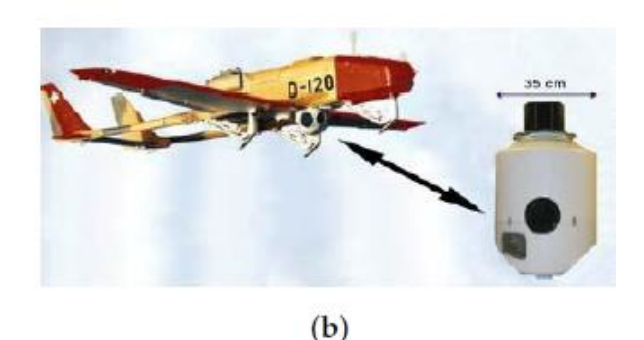


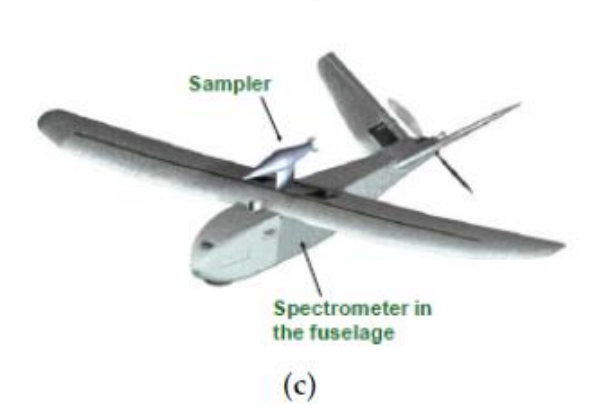
Детектор на основе кристалла LaBr3 со свинцовым коллиматором, смонтированным на мобильном роботе

Гибридные беспилотные воздушные аппараты (UAV):

- (a) Гибридный UAV с вертикальным взлетом и посадкой с фиксированным крылом
- (b) Гибрид самолета и дирижабля







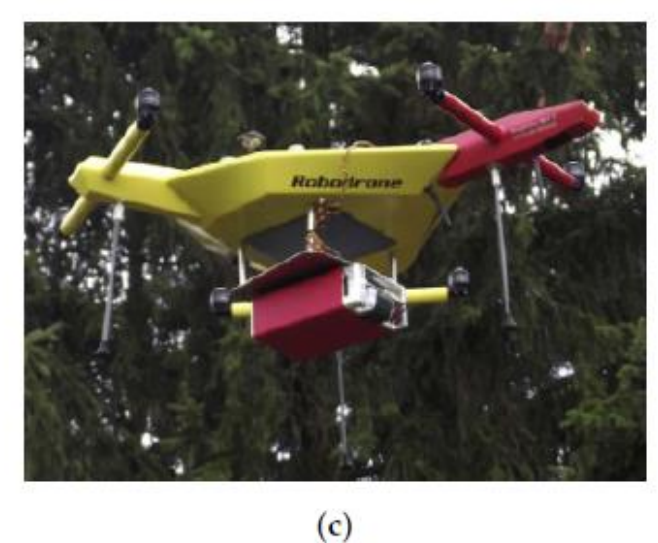
Системы детектирования, смонтированные на беспилотных летательных аппаратах (UAV):

- (a) UAV с двумя сцинтилляционными детекторами SIGMA-50 CsI(TI)
- (b) UAV с системами детектирования GM, NaI(Tl) и CZT
- (c) UAV Patria MASS Mini с детектором CsI (в фюзеляже) и пробоотборником радиоактивных частиц (наверху)



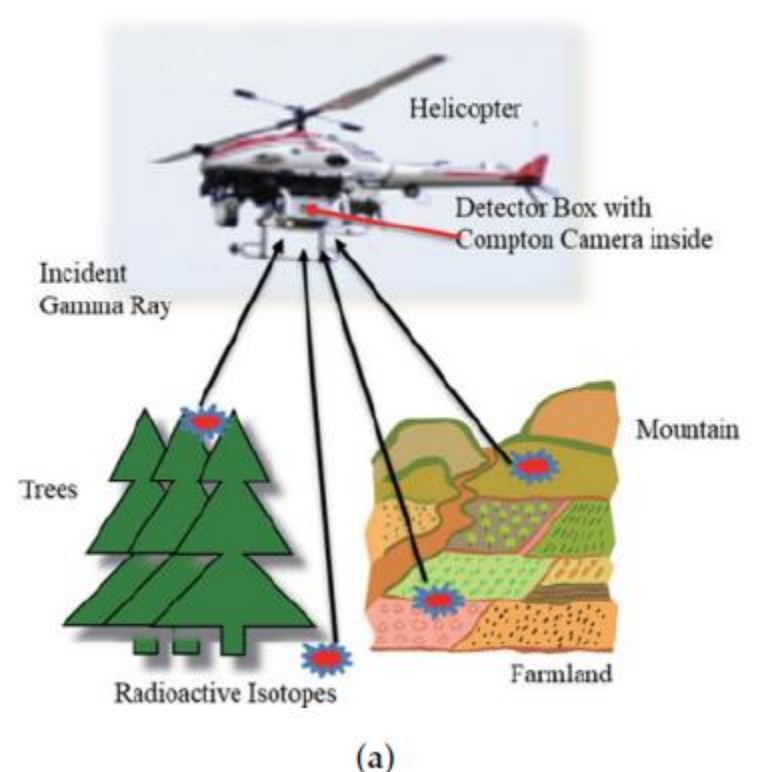


(b)

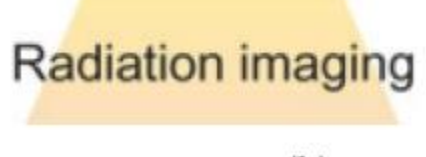


Детектора, смонтированные на беспилотных воздушных аппаратах (UAV):

- (a) Многовинтовой UAV с детектором CZT и лида́ром
- (b) Многовинтовой UAV с детектором SIGMA-50 CsI(Tl) и лазерным дальномером
- (c) Многовинтовой UAV с двумя детекторами на основе германата висмута



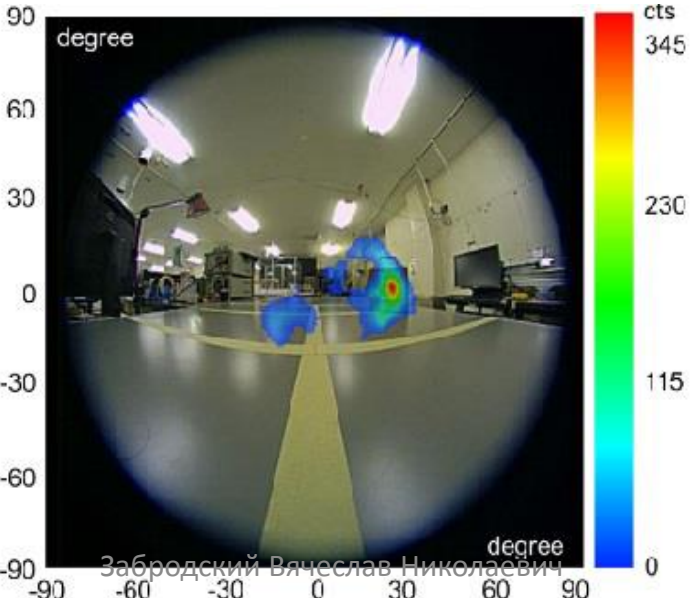




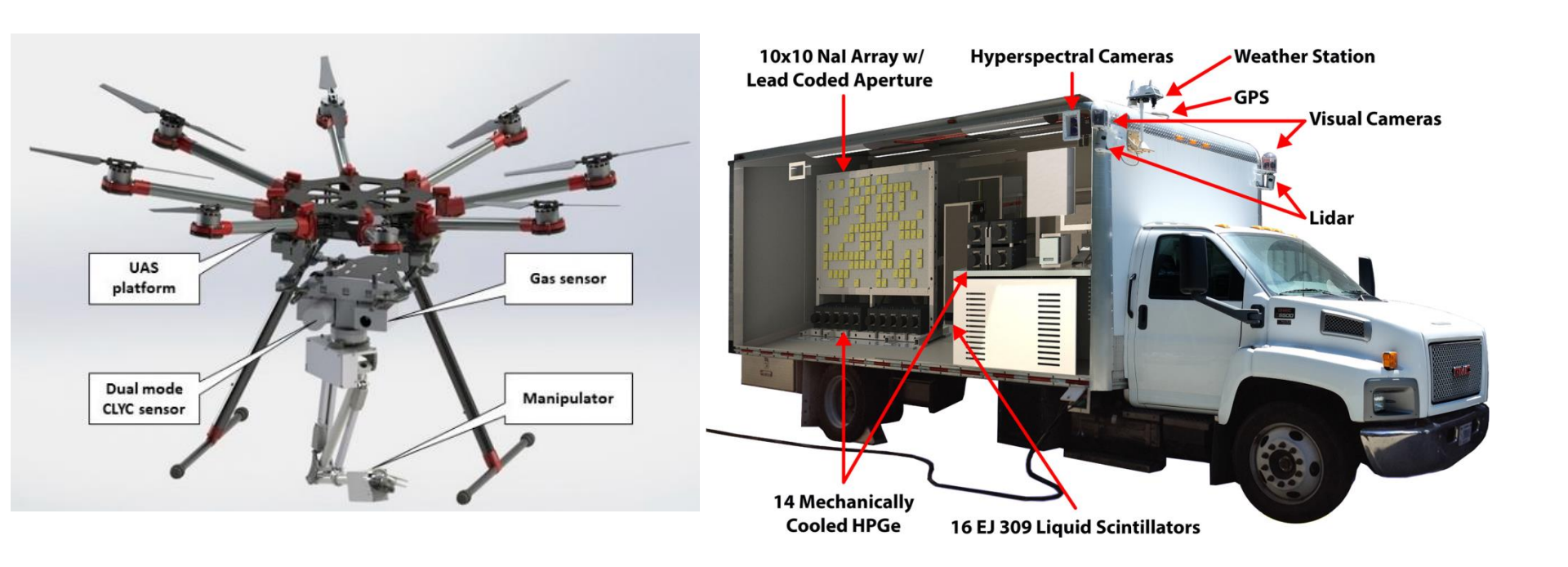
(b)

Использование комптонкамер, смонтированных на беспилотных летательных аппаратах (UAV): (а) UAV с двумя сцинтилляционными детекторами SIGMA-50 CsI(TI); (b) UAV с системами детектирования GM, NaI(TI) и CZT





Переносная комптонкамера на основе сцинтилляционных кристаллов Ce:GAGG (слева) и реконструированный образ источника ¹³⁷Cs (справа).



Системы детектирования гамма- и нейтронного излучения:

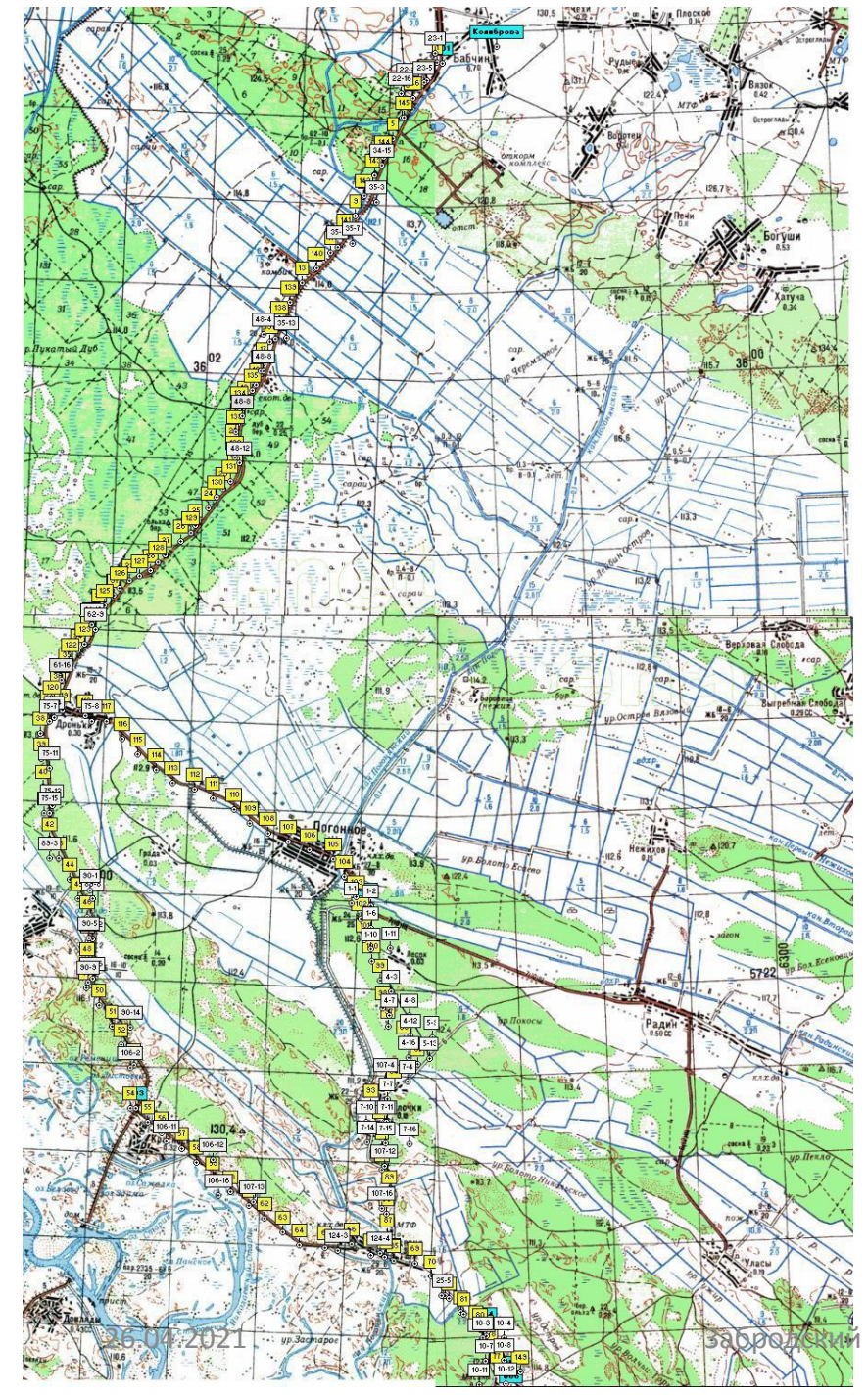
- (a) Многовинтовой беспилотный воздушный аппарат с двухрежимным Cs2LiYCl6:Ce3+ сенсором и манипулятором.
- (b) Радиологическая многосенсорная аналитическая система (RadMap), смонтированная на грузовике, и включающая Nal –детекторы за свинцовой защитой, а также детекторы из высокочистого германия и жидкостно-сцинтилляционные детекторы EJ-309

«Мобильные измерения: полевые упражнения по картам выпадений в белорусской зоне отчуждения» 2014 г.

Цель проекта: тренировка персонала и тестирование оборудование с целью оценки масштабов радиоактивного загрязнения местности

Участники проекта:

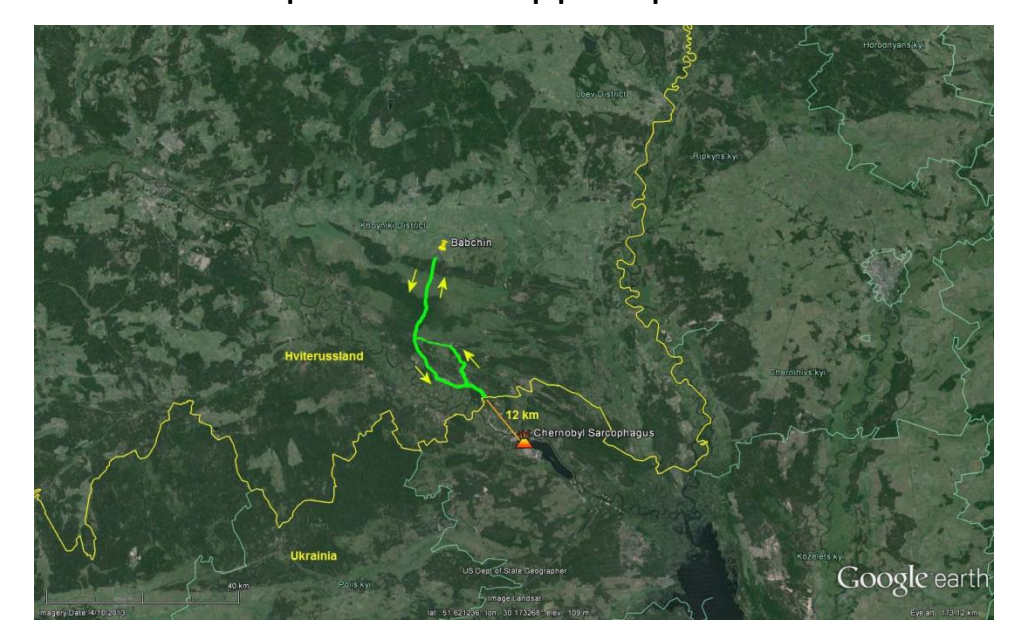
- 1. Исландское агентство по радиационной защите.
- 2. Шведское агентство по радиационной защите.
- 3. Университет LUND (медицинская радиационная физика факультета медицинских наук) и Шведское агентство по радиационной защите.
- 4. Норвежское агентство по радиационной защите.
- 5. Датское агентство по управлению чрезвычайными ситуациями.
- **Используемые счетчики гамма-излучения** от компактного LaBrдетектора размером 1,5 × 1,5 дюйма до 4 л Nal-детектора,



Протяженность маршрута более 80 км

Желтым цветом выделены точки, в которых сотрудниками ПГРЭЗ производились измерения МД.

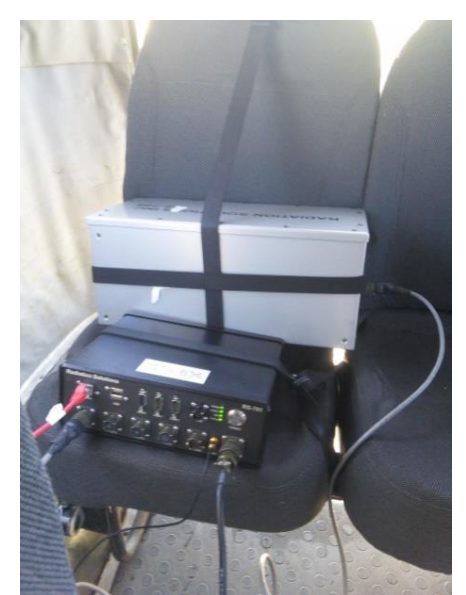
Белый цвет – точки, в которых производился отбор почвы и последующий ее спектрометрический анализ для определения плотности загрязнения территории ¹³⁷Cs.



Размещение оборудования в автомашине, на калибровочной площадке, разнообразие типов дорожного покрытия на маршруте







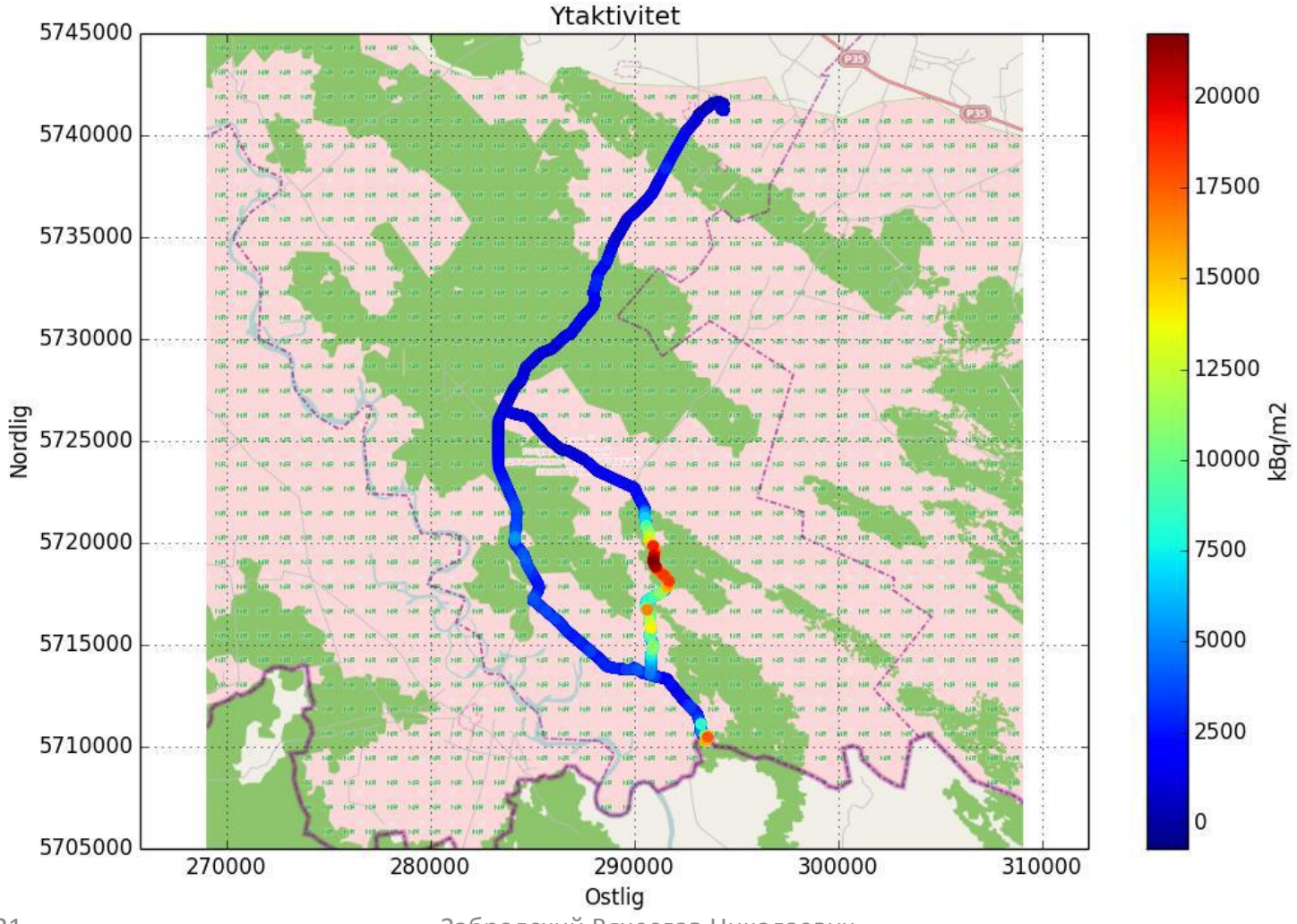




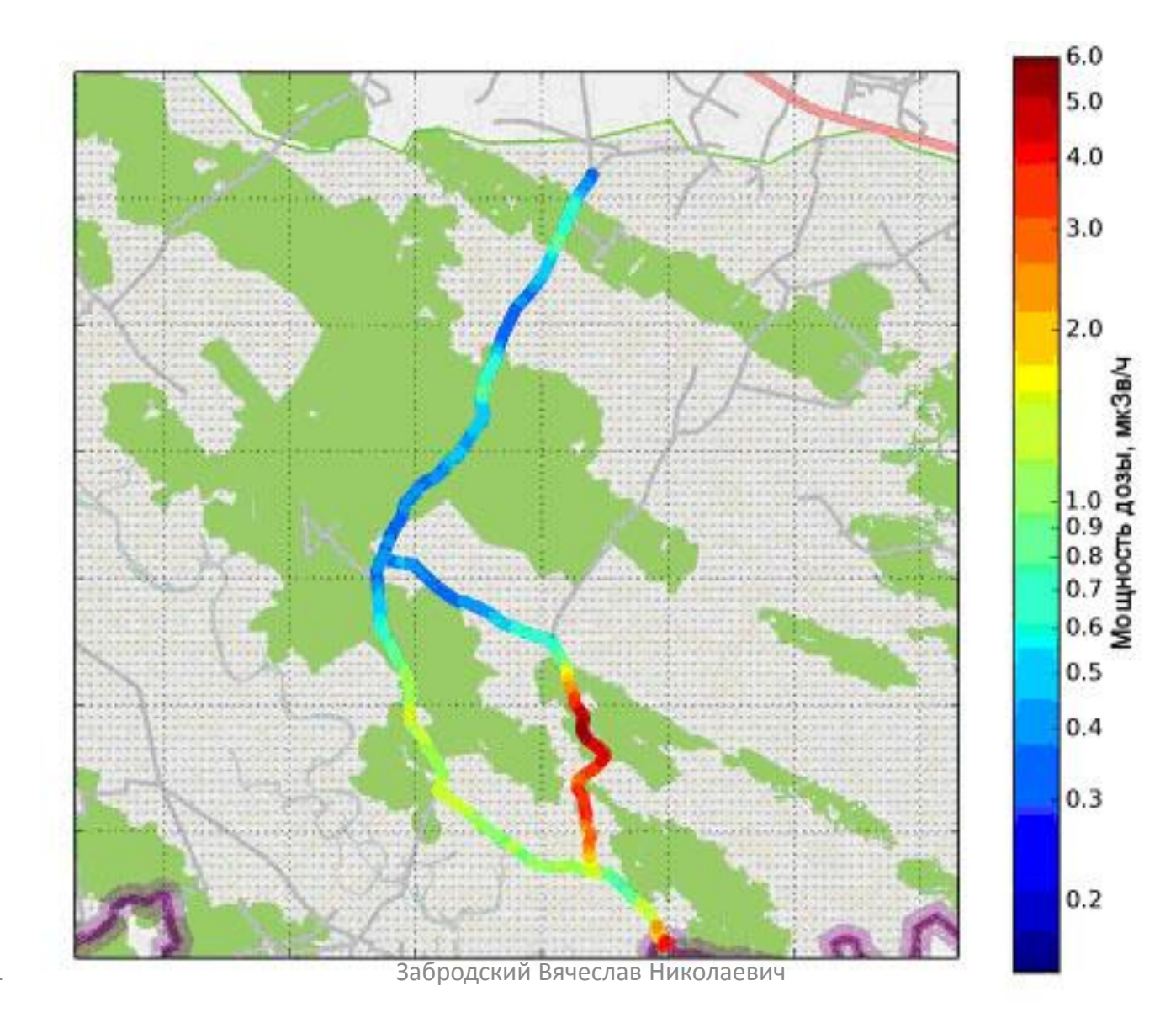




Для оценки **плотности загрязнения территории** ¹³⁷**Сs** использовался калибровочный фактор ((21,5 имп/с)/(Бк/м²)), полученный путем проведения измерений на калибровочной площадке. Применение этого калибровочного фактора к регистрируемой на маршруте скорости счета, позволило оценить плотность загрязнения территории



Изменение мощности дозы гамма-излучения (мк³в/ч) вдоль маршрута согласно данным, полученным 1-й шведской группой

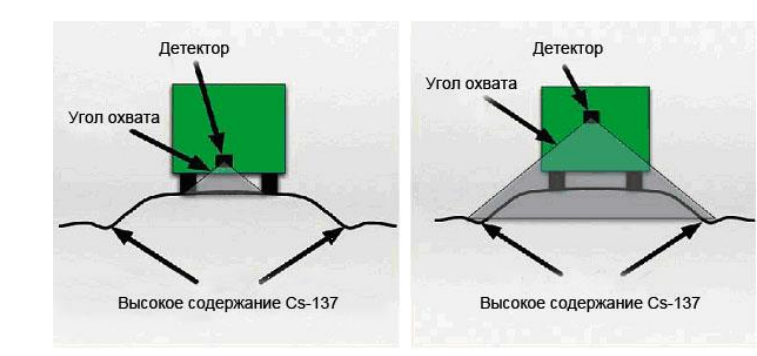


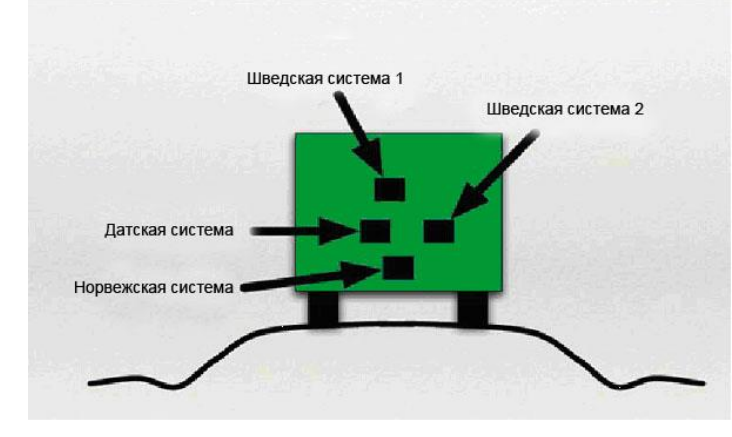
26.04.2021

Выводы

- Установлено, что результаты измерения мощности дозы, полученные с помощью различных дозиметров, совпадают между собой и характеризуют интегральную радиационную обстановку, обусловленную содержанием ¹³⁷Cs в биогеоценозах в целом, а не только в почве. Наиболее ярко это выражено при пересечении лесных массивов.
- Полученные данные по отношению «пик/рассеяние» вдоль всего маршрута свидетельствуют об отличиях вертикальных профилей распределения ¹³⁷Сѕ вдоль маршрута от такового на калибровочной площадке. Данное обстоятельство может понизить точность оценки плотности загрязнения.
- Показана зависимость получаемого результата от месторасположения детектора в автомобиле, т.е. от зоны обзора детектора (см. рисунок).

Зависимость угла охвата детектора от его размещения внутри салона автомобиля





Источники информации

- Luís Marques, Alberto Vale, Pedro Vaz. State-of-the-Art Mobile Radiation Detection Systems for Different Scenarios. Sensors 2021, 21, 1051. https://doi.org/10.3390/s21041051 https://www.mdpi.com/journal/sensors
- M. Dowdall, J. K. Behring, Yu. Bondar, et.al. Mobile Measurement: Field Exercise in Fallout Mapping in the Belarusian Exclusion Zone (MOBELRAD). Nordic Nuclear Safety Research NKS-320. 03 Dec 2014. http://www.nks.org/en/nks_reports/view_document.htm?id=111010212617378
- Бондарь Ю.И., Забродский В.Н., Марченко Ю.Д., Кудин М.В. и др. Мобильные измерения: полевые упражнения по картам выпадений в белорусской зоне отчуждения. Отчет о НИР ПГРЭЗ № госрег. 20150124, Хойники, 2014 г. -62 с.